



## Trabalho Final Lab de Controle II

- Trabalho Final Lab de Controle II
  - Título do trabalho
  - Objetivo do trabalho
  - Conteúdo do Trabalho
    - 1. O problema da Saturação Integral
      - Exemplo 3.1 de Sobrecarga da Ação Integral
      - O exemplo de PID com Anti-windup da MathWorks
    - 2. Abordagens para Anti-Windup
      - 2.1 Método do cálculo retroativo ou "*backup-calculating*"
      - 2.2 Controlador no modo "*Integrator Clamping*"

- Outros métodos
- Referências

## Título do trabalho

---

Título do trabalho: **Controladores PID com Anti-Windup**

Este trabalho está previsto para ser realizado em duplas de alunos.

Data de entrega: 08/12/2022, arquivo PDF, enviado por email para [fpassold@upf.br](mailto:fpassold@upf.br)

## Objetivo do trabalho

---

A objetivo deste trabalho é que o estudante entenda o que é o problema da "saturação na ação integral" (ou efeito "windup") ocorrendo com um controlador típico PID; que tome conhecimento de diferentes técnicas para minimizar este problema e que em especial acabe usando (simulando e comparando) a técnica "*back-calculation*" com certa planta/exemplo.

## Conteúdo do Trabalho

---

Sugere-se dividir o trabalho nos seguintes tópicos:

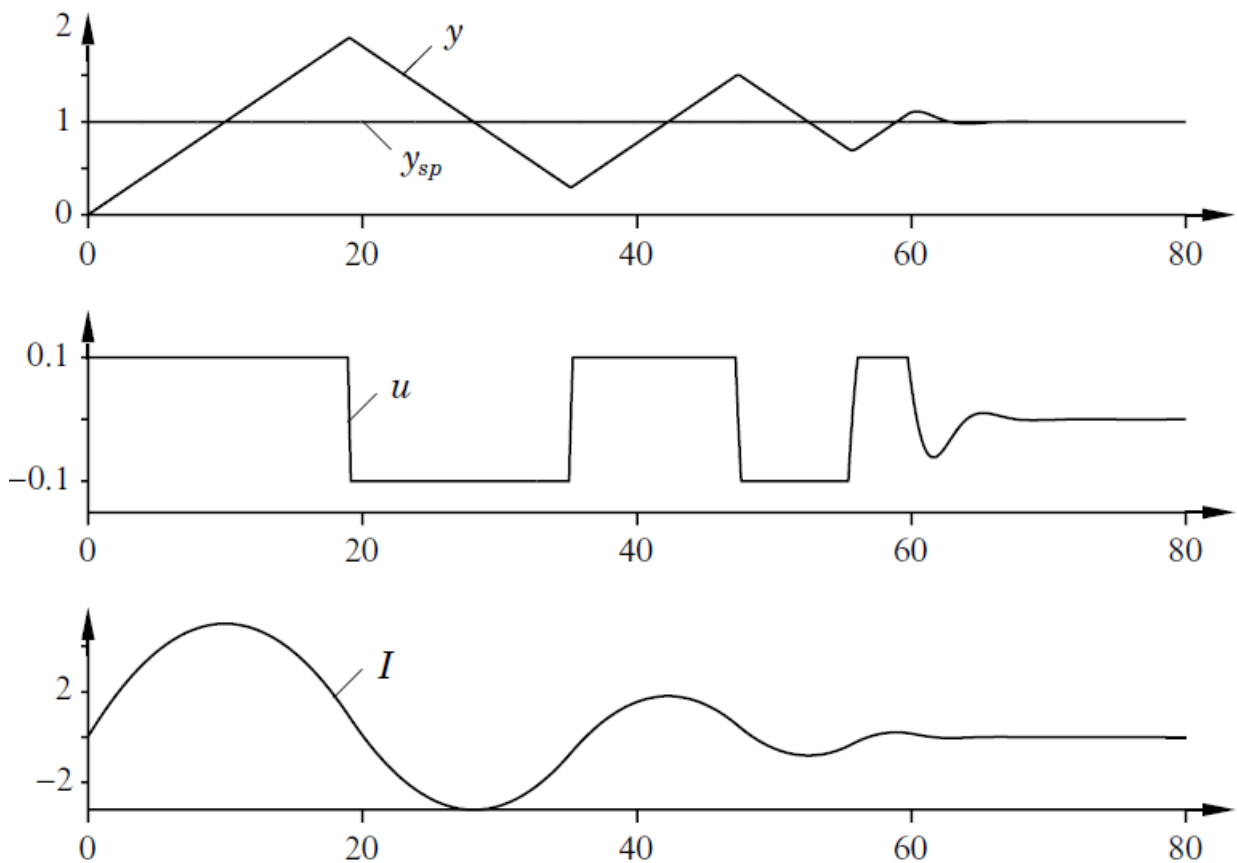
### 1. O problema da Saturação Integral

Uma dos problemas mais comuns com o controlador PID é como fazê-lo lidar com o efeito de "windup" ou de Saturação Integral. O "windup" ou problema da "saturação integral" é o resultado causado pelo acúmulo de uma soma de erro muito grande quando a variável de processo está se aproximando do Setpoint de maneira lenta. Isso resulta em uma quantidade significativa de sobressinal e controle ineficiente.

Note que o componente Integral é a única parte de um controlador PID com memória de longo prazo. Enquanto os componentes Proporcional e Derivativo ajudam a reagir a erros de forma instantânea, a ação Integral é o único fator que melhora a qualidade da malha de controle ao longo do tempo.

#### Exemplo 3.1 de Sobrecarga da Ação Integral

A próxima figura (Fig 3.18 originalmente em [1]) demonstra o fenômeno do "windup". Ela mostra o controle de um processo tipo 1 (integrático) atuando com um controlador Integral. A figura mostra a saída do processo  $y(t)$ , a referência (*setpoint*), ou  $y_{sp}(t)$ , o sinal de controle  $u(t)$  e a ação integral  $I(t)$ .



A mudança inicial da referência (*setpoint*, variável  $y_{sp}(t)$ ) é tão grande que o atuador satura num valor máximo ( $= 0.1$ ).

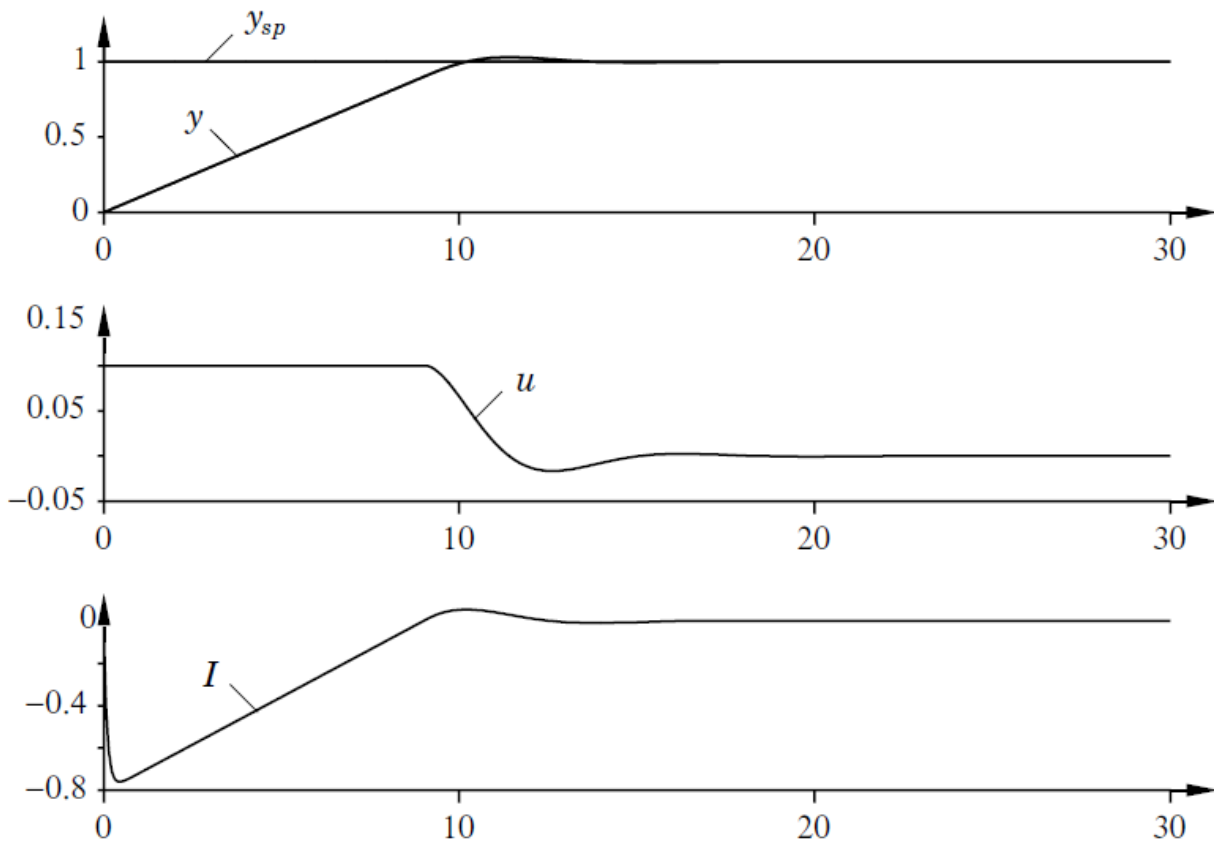
Note que o termo integral aumenta inicialmente porque o erro é positivo; ele atinge seu maior valor no tempo  $t = 10$  quando o erro passa por zero.

A saída permanece saturada neste ponto por causa do grande valor do termo integral. Ele não abandona o limite de saturação até que o erro tenha sido negativo por um tempo suficientemente longo para deixar a parte integral descer a um nível pequeno.

O sistema não sai do limite de saturação até que o erro tenha se tornado negativo por um tempo suficientemente longo para deixar a parte integral descer a um nível pequeno.

Observe que o sinal de controle comuta entre seus limites máximo ( $= 0, 1$ ) e mínimo ( $= -0, 1$ ) várias vezes. O efeito final é uma grande sobrecarga (pela ação integral) e uma oscilação amortecida onde o sinal de controle oscila de um extremo ao outro como no caso de um relé (ou controlador on/off). Mas a saída finalmente se aproxima bastante do ponto de ajuste ( $y(t) \cong y_{sp}(t)$ ), motivo pelo qual o atuador não satura. O sistema então se comporta linearmente e estabiliza.

A próxima figura mostra o que ocorre quando um controlador com anti-windup é aplicado ao sistema simulado na Figura 3.18. Observe que a saída do integrador é rapidamente redefinida para um valor tal que a saída do controlador está no limite de saturação e a integral tem um valor negativo durante a fase inicial, quando o atuador está saturado.



A figura anterior corresponde a fig 3.20 de [1] e mostra o impacto causado pela aplicação de um Controlador Integral com anti-windup ao sistema apresentado no início deste exemplo (figura 3.18). Os diagramas mostram a saída do processo  $y(t)$ , setpoint (referência) -- que Astrom chama de  $y_{sp}(t)$ , o sinal de controle  $u(t)$  e a ação integral  $I(t)$ .

Esse comportamento é drasticamente diferente da figura do (Figura 3.18), onde a integral tem um valor positivo durante o transiente inicial. Observe também a melhoria drástica no desempenho em comparação com o controlador PI comum usado na Figura 3.18.

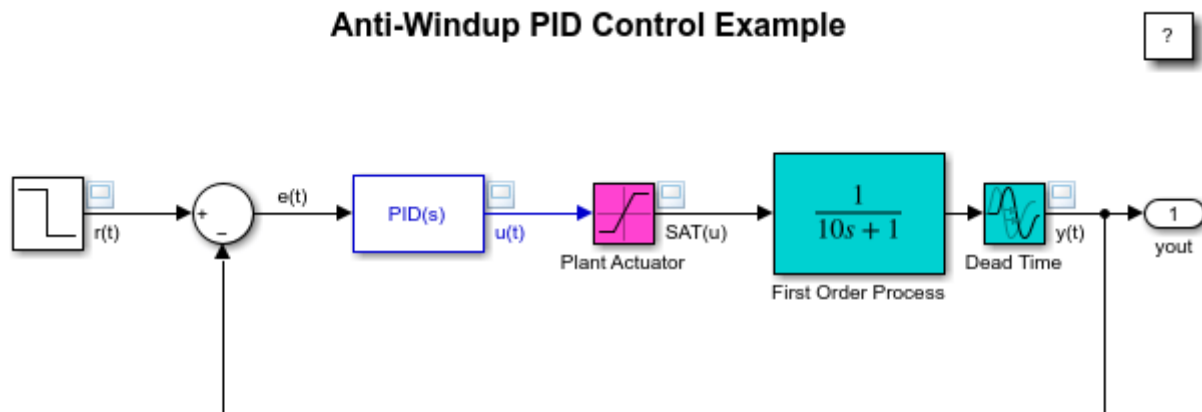
### O exemplo de PID com Anti-windup da MathWorks

Para tentar demonstrar o problema da "saturação integral", os estudantes devem mostrar um PID simples (sem anti-windup) tentando controlar um sistema do tipo:

$$G(s) = \frac{1}{10s + 1} e^{-2s}$$

Trata-se de um sistema de 1a-ordem com atraso de transporte (atraso na resposta). Note que esta planta só aceita valores de entrada na faixa de  $-10 \dots +10$  Volts. Isto é, seu driver de potência satura se recebe valores superiores aos que foram indicados. Esta é a planta usada como exemplo no "tutorial" sobre Controle PID com Anti-Windup disponibilizado pela MathWorks (fabricante do software Matlab), disponível à partir de: "Anti-Windup Control Using PID Controller Block" (<https://www.mathworks.com/help/simulink/slref/anti-windup-control-using-a-pid-controller.html>).

Esta planta/processo, com as características indicadas anteriormente pode/deve ser simulada usando o Matlab/Simulink para demonstrar os problemas que surgem e mostrar a efetividade (ou não) de soluções que podem ser empregadas para tentar minimizar o problema. Para efeitos de simulação, siga o mesmo procedimento adotado no material da Mathwork: suponha que a referência seja uma entrada degrau de amplitude 5, já incorpore o bloco de atraso no tempo ("*Dead Time*") e o bloco de Saturação ("*Plant Actuator*"), já nas primeiras simulações com um PID sem Anti-Windup -- veja figura à seguir.



Copyright 2009-2022 The MathWorks, Inc.

A ideia é que os estudantes, iniciem o trabalho simulando como um PID sem Anti-Windup aplicado nesta planta, faz o sistema se comportar em malha-fechada e assim primeiramente entender o problema da "saturação integral", comum na prática. Os estudantes devem mostrar e comentar o resultado desta simulação.

**Detalhes:** sintonizar um PID para um processo lento com atraso de transporte pode ser complicado e demandar tempo. Sugere-se que para a planta citada anteriormente, os estudantes adotem os seguintes parâmetros para o PID fornecido "de fábrica" no Matlab/Simulink:

**Block Parameters: PID Controller**

PID 1dof (mask) (link)

This block implements continuous- and discrete-time PID control algorithms and includes advanced features such as anti-windup, external reset, and signal tracking. You can tune the PID gains automatically using the 'Tune...' button (requires Simulink Control Design).

Controller: **PID** Form: **Parallel**

Time domain:  
☒ Continuous-time  
☐ Discrete-time

Discrete-time settings  
 Sample time (-1 for inherited): **-1**

▼ Compensator formula

$$P + I \frac{1}{s} + D \frac{N}{1 + N \frac{1}{s}}$$

Main Initialization Output saturation Data Types State Attributes

Controller parameters

Source: **internal**

Proportional (P): **1.75**

Integral (I): **0.175**

Derivative (D): **0.625**

☒ Use filtered derivative

Filter coefficient (N): **1**

Automated tuning

Select tuning method: **Frequency Response Based** **Tune...**

☒ Enable zero-crossing detection

OK Cancel Help Apply

## 2. Abordagens para Anti-Windup

A seguir os estudantes devem apresentar uma teoria mínima associada com a abordagem que será adotada para minimizar os efeitos da saturação.

O PID fornecido de "fábrica" pela Marhworks no Simulink disponibiliza 2 técnicas para minimiar o efeito "windup":

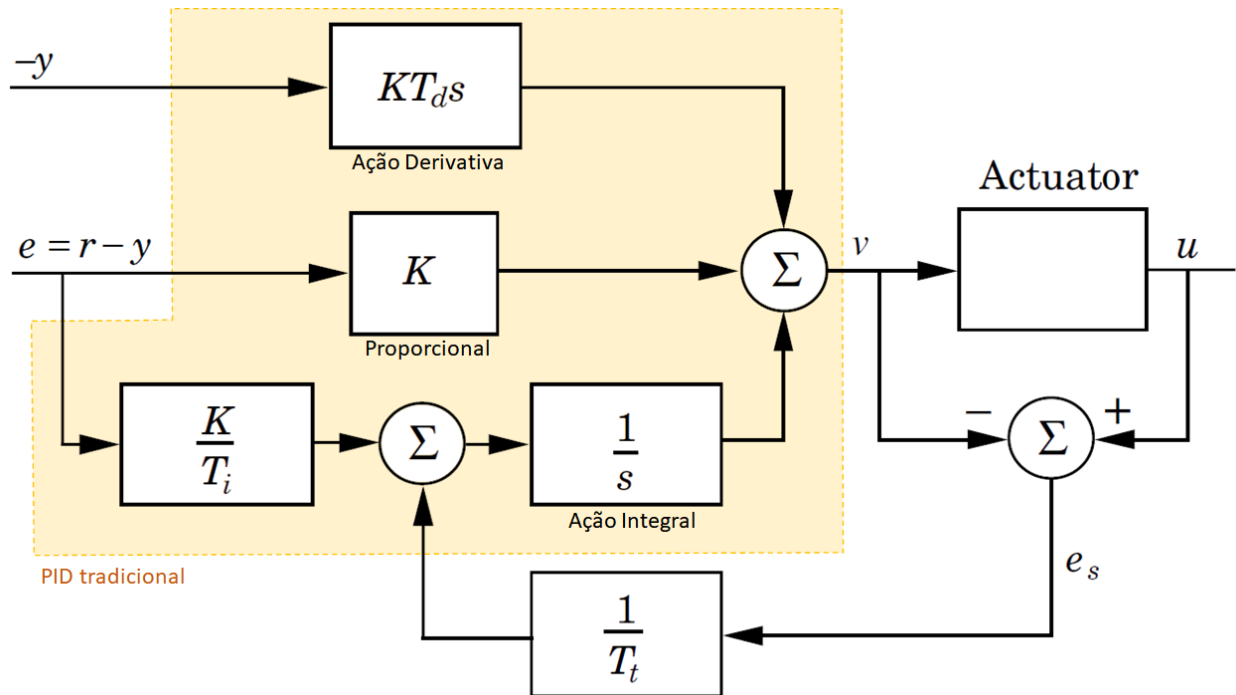
1. "**Back-Calculation**", ou método do Cálculo Retroativo, e;
2. "**Integrator Clamping**", ou método da "Integração Condicional".

Em especial neste trabalho (e para fins de simplificação), espera-se que os estudantes explorem apenas a técnica **back-calculation**.

### 2.1 Método do cálculo retroativo ou "**backup-calculating**"

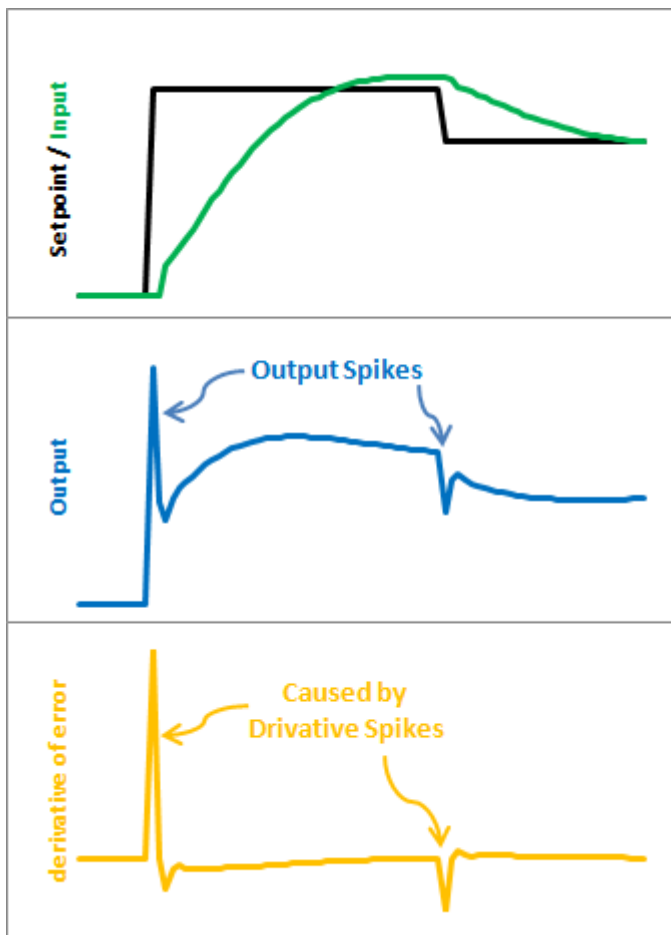
Este método descrito brevemente na página WEB da MathWorks à respeito de controlador PID com Anti\_Windup ("Anti-Windup Control Using PID Controller Block": [https://www.mathworks.com/help/simulink/slref/anti-windup-control-using-a-pid-controller.html#responsive\\_offcanvas](https://www.mathworks.com/help/simulink/slref/anti-windup-control-using-a-pid-controller.html#responsive_offcanvas) ) foi proposto originalmente por Åström e Hägglund em 1995 [1].

A próxima figura ilustra na forma de um diagrama em blocos, esta proposta de PID com anti-windup:



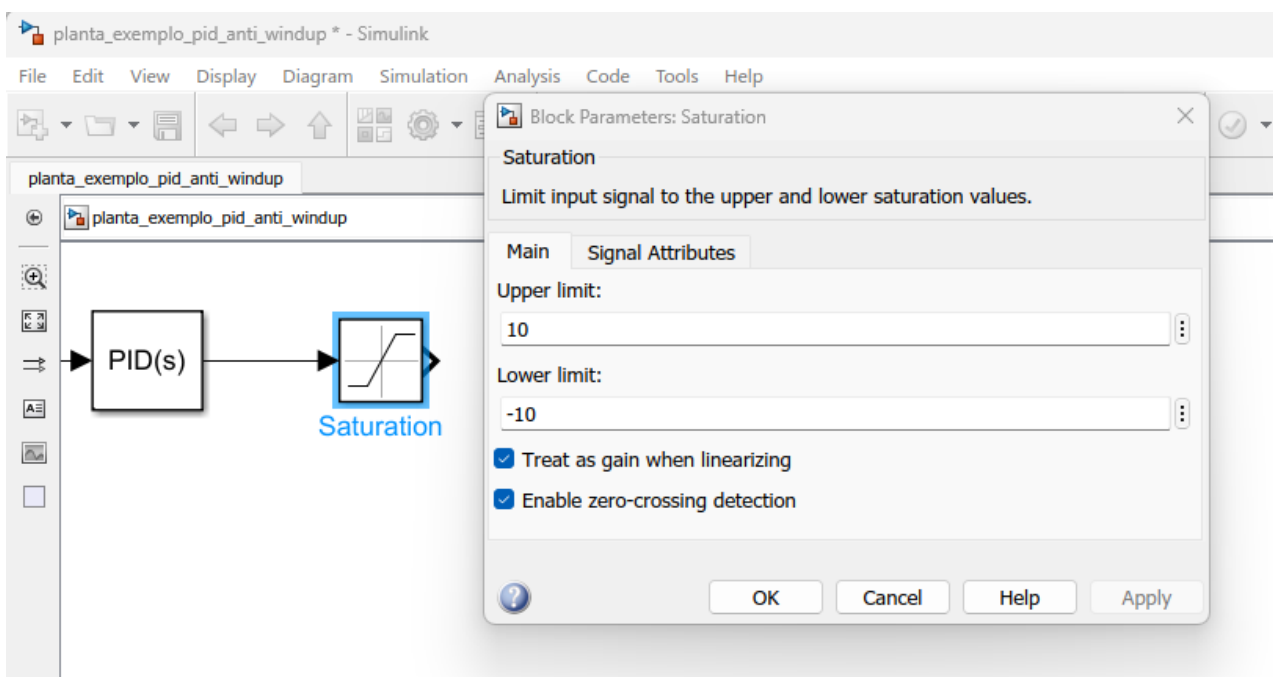
Trata-se da figura 3.19(a), adaptada de [1] e mostra um diagrama de blocos de um controlador PID com anti-windup baseado em cálculo retroativo ("back-calculation").

Note que esta figura já mostra a Ação Derivativa atuando não sobre o sinal do erro,  $e(t)$ , mas sobre a saída da planta:  $-y(t)$ . Isto é feito para evitar o que se chama de "derivative quicks", ou "derivative spikes": "saltos" na ação derivativa em função de mudanças bruscas no sinal de referência,  $r(t)$  (Ver [2]). A ideia é evitar amplitudes elevadas ocasionadas pela aplicação da derivada sobre um sinal de erro que varia muito rápido (aos saltos), em função de mudanças bruscas no sinal de referência (saltos/degrau mudando de amplitude). Como a planta normalmente reage mais lentamente e possui sua própria dinâmica ("inércia"), realizar  $dy(t)/dt$  ao invés de  $de(t)/dt$  visa gerar sinais menos oscilatórios e de menor amplitudes. A próxima figura (adaptada de [2]) mostra os "famosos" derivative spikes:



Voltando a figura do diagrama de blocos, o bloco "Atuador" pode incluir um modelo matemático completo do driver de potência (uma espécie de filtro passa-baixas), incluindo um bloco de saturação que contempla os limites físicos/reais do sinal de entrada usado pelo driver de potência.

O bloco atuador no caso da planta usada como exemplo pela MathWorks, seria simplesmente o bloco "Saturation" do Simulink com os parâmetros:





O sistema proposto conta com um laço extra de feedback gerado pela medição da saída atual do atuador,  $u(t)$ , formando um sinal de erro,  $e_s(t)$ , como sendo a diferença entre a saída gerada pelo controlador (PID ou outro),  $v(t)$  e a saída do atuador,  $u(t)$ . O sinal  $e_s(t)$  é repassado então para o bloco integrador através do ganho  $1/T_t$ . O sinal  $e_s(t)$  é nulo (zerado) quando não há saturação. Neste caso, esta abordagem não afeta a operação normal do atuador enquanto ele não satura. Quando o atuador satura, o sinal  $e_s(t)$  é diferente de zero. O laço de realimentação tradicional é "quebrado" porque o sinal  $u(t)$  fornecido à planta se torna constante (saturado). Neste caso, atua o laço extra de realimentação que usa/passa por um integrador (bloco  $1/s$ ). Este bloco trabalha com um sinal do tipo:

$$a(t) = \frac{1}{T_t} e_s(t) + \frac{K}{T_i} e(t)$$

onde  $e(t)$  = sinal de erro do processo ( $e(t) = r(t) - y(t)$ ).

A ideia neste caso é que a saída deste integrador tenda à zero. Em regime permanente, a equação anterior fica:

$$e_s(t) = -\frac{K T_t}{T_i} e(t)$$

Como  $e_s(t) = u(t) - v(t)$ , teremos então que:

$$v(t) = u_{lim} + \frac{K T_t}{T_i} e(t)$$

onde  $u_{lim}$  = valor máximo de saturação do atuador (da variável de controle).

Uma vez que os sinais  $e(t)$  e  $u_{lim}$  possuem o mesmo sinal, resulta que  $v(t)$  sempre será maior que  $u_{lim}$ , em magnitude. Isto evita o integrador de saturar.

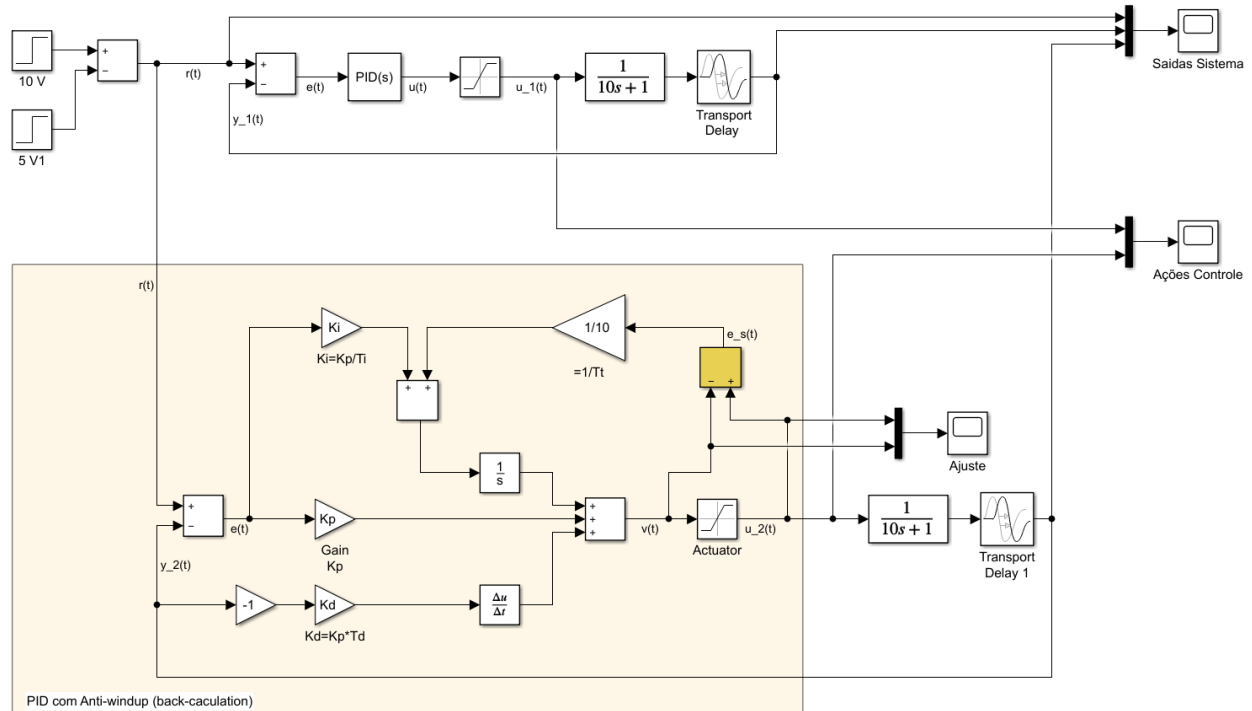
A taxa/razão, na qual a saída do controlador é "resetada" é ditada pelo ganho do laço de realimentação:  $1/T_t$ , onde  $T_t$  pode ser interpretado como uma constante de tempo que determina que tão rápido a integral é resetada. Åström denomina  $T_t$  de constante de tempo de seguimento ou *tracking time constant* [1].

Inicialmente pode parecer vantajoso escolher sempre um valor muito pequeno para a constante de tempo  $T_t$ , porque o integrador é "resetado" rapidamente. No entanto, alguns cuidados devem ser tomados ao introduzir o anti-windup em sistemas com ação derivada. Se a constante de tempo  $T_t$  for muito pequena, erros espúrios podem causar saturação da saída, o que acidentalmente reseta o integrador. Åström e Hägglund [1] recomendam que a constante de tempo de rastreamento  $T_t$  deve ser maior que  $T_d$  (tempo derivativo) e menor que  $T_i$  (tempo integrativo). A "regra de ouro" sugerida é adotar:  $T_t = \sqrt{T_i T_d}$ .

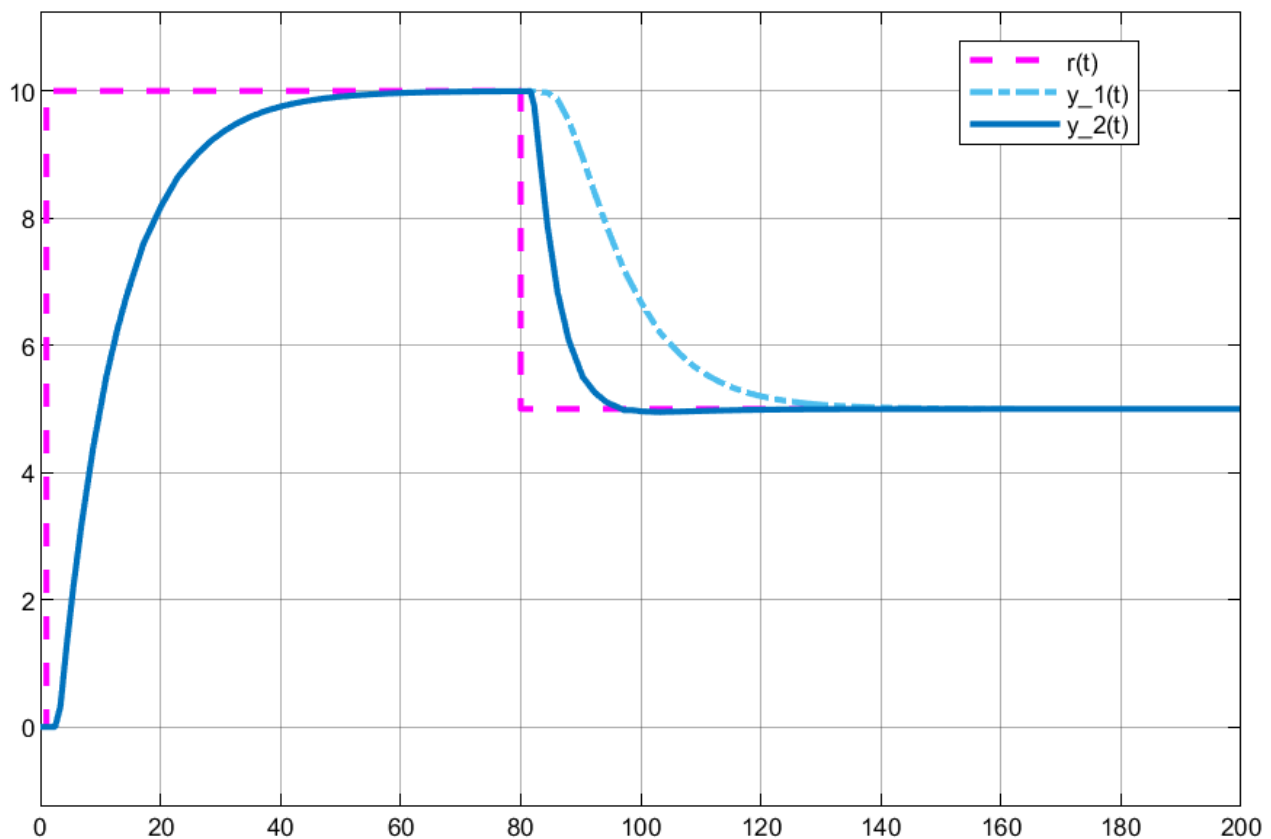
**Observação:** Caso o estudante apresente este método, sugere-se que o mesmo simule ao menos, 5 diferentes valores de  $T_t$  para mostrar e compreender sua influência na redução

do efeito de windup. Sugere-se valores como:  $T_f = [0, 5 \ 1 \ 2 \ 5 \ 10 \ 20 \ 40]$  segundos..

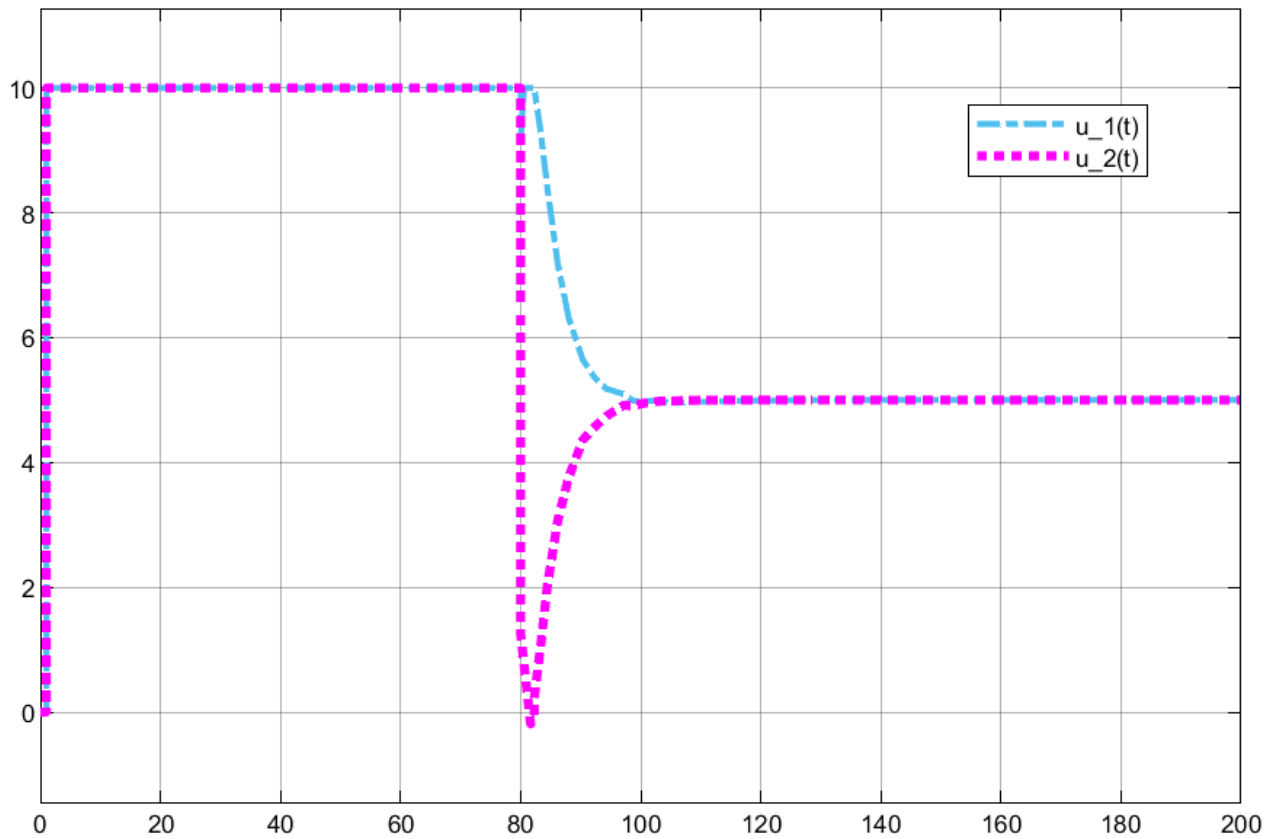
Sugere-se que os estudantes comparem a atuação do PID "tradicional" com o PID com anti-windup baseado neste método, como é mostrado na próxima figura:



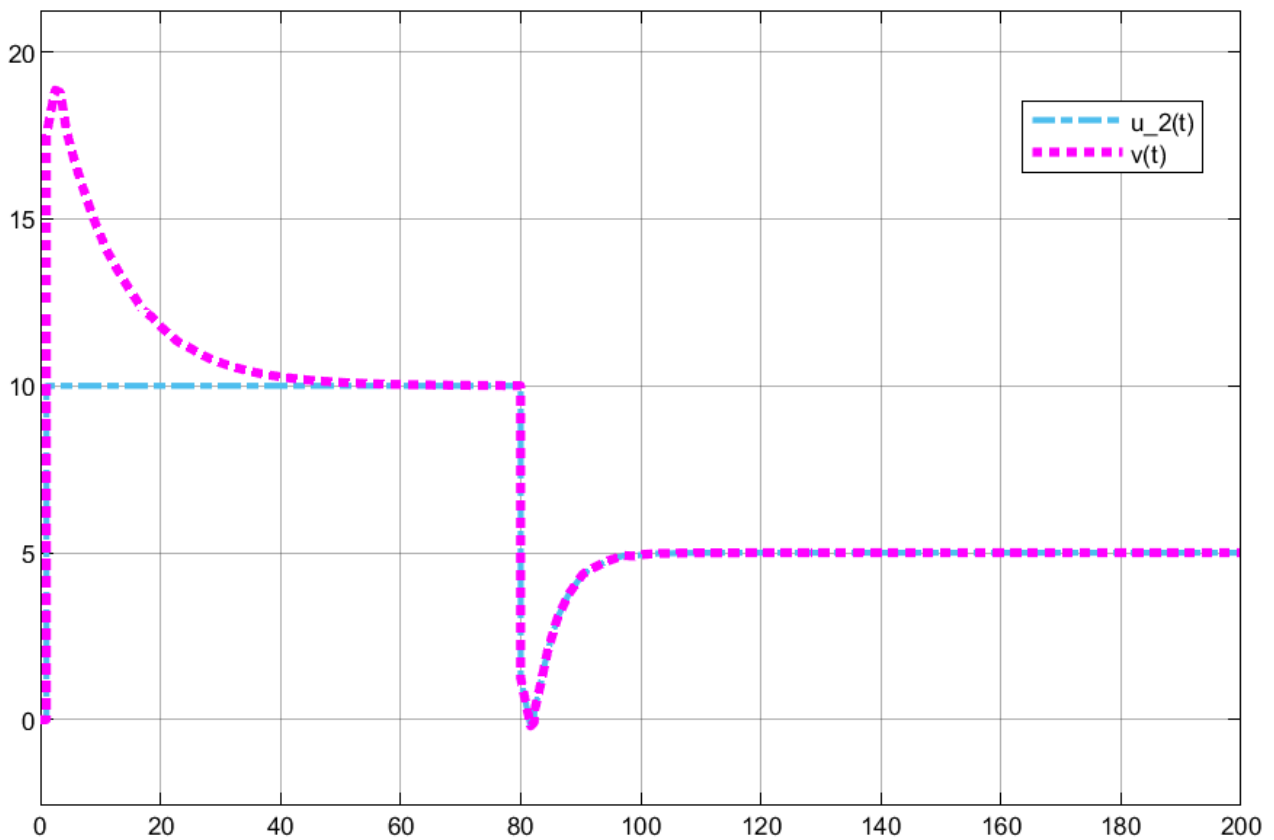
O resultado da simulação do bloco mostrado na figura anterior, gerou as seguintes respostas do sistema:



As ações de controle geradas aparecem na próxima figura:



E os ajustes realizados para ação anti-windup aparecem na próxima figura:



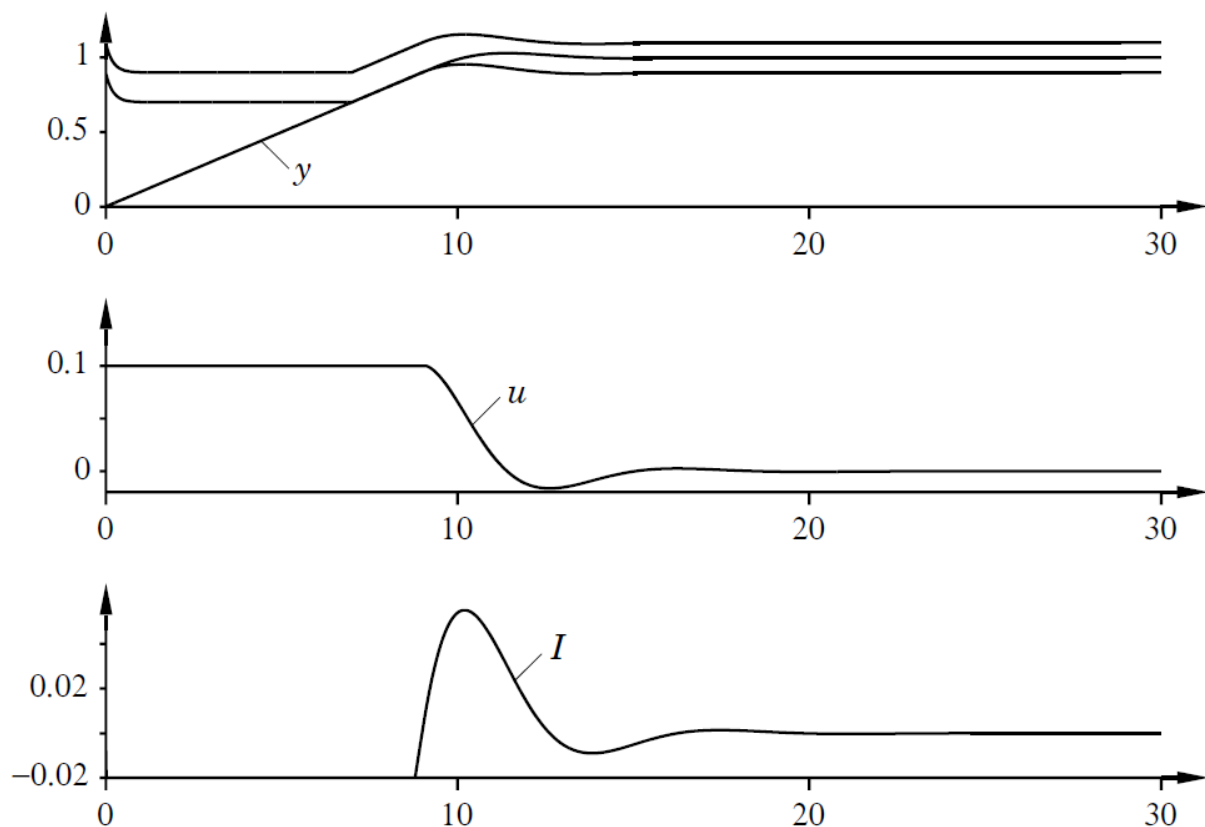
Na simulação anterior foi adotado  $T_f = 10$  segundos.

## 2.2 Controlador no modo "Integrator Clamping"

O método da "Integração Condicional" ou *Integrator Clamping*, aparece no tópico "*Conditional Integration*" (ou "Integração condicional"), pág. 85 de [1]. É uma alternativa ao método *back-calculation*.

Neste método, a integração é "desligada" quando o sinal de controle está distante do estado estacionário (valor de referência desejado). A ação integral é, portanto, usada apenas quando certas condições são cumpridas, caso contrário, o termo integral é mantido constante (ou num estado de "saturação"). Por isto este método também é conhecido como *integrator clamping* (ou tamponamento do integrador).

As condições em que a integração é inibida podem ser expressas de muitas maneiras diferentes. A figura à seguir (figura 3.26 de [1]), mostra uma simulação desta técnica aplicada no Exemplo 3.1 (de [1], mostrado no [início](#) deste documento), com a integração condicional ocorrendo de tal forma que o termo integral é mantido constante durante a saturação.



A figura anterior mostra o resultado de uma simulação do sistema do Exemplo 3.1 com integração condicional. São mostrados os seguintes sinais: a banda proporcional, a saída do processo  $y(t)$ , o sinal de controle  $u(t)$  e a ação integral  $I(t)$ .

Algumas condições de comutação diferentes são agora consideradas. Uma abordagem simples é desativar a integração quando o erro de controle é grande. Outra abordagem é desligar a integração durante a saturação. Ambos os métodos têm a desvantagem de que

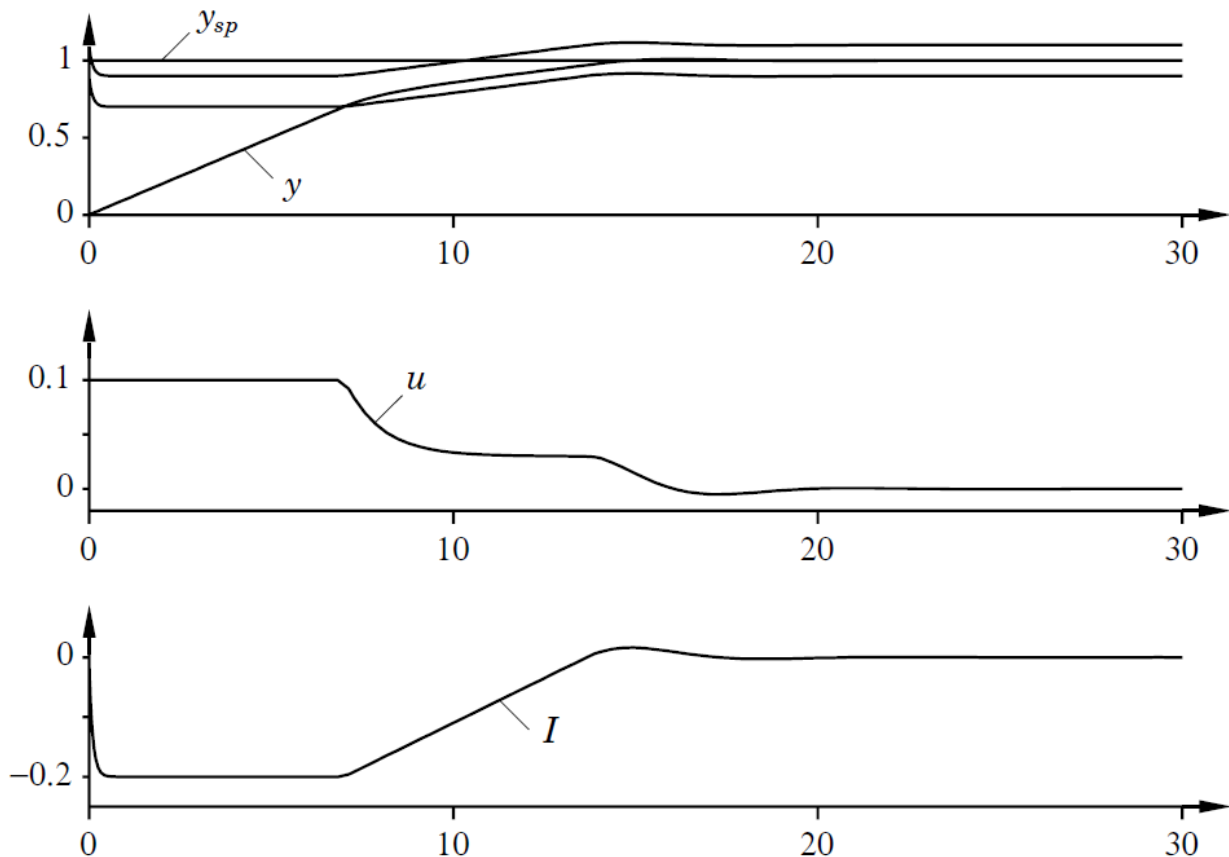
o controlador pode ficar travado num erro de controle diferente de zero se o termo integral tiver um valor grande no momento do desligamento da ação integral.

Para tentar contornar o problema anterior, a integração pode ser desligada quando o controlador está saturado e a atualização da ação integral é realizada de tal forma que faz com que o sinal de controle fique na saturação.

Suponha, por exemplo, que o controlador fique saturado no limite superior. A integração é então desativada se o erro de controle for positivo, mas não se for negativo.

Alguns métodos de integração condicional destinam-se principalmente à inicialização de processos em lote, quando pode haver grandes alterações no *setpoint*.

Uma versão em particular, usada em controle de temperatura, define uma banda proporcional fora do setpoint quando há grandes desvios de controle. O deslocamento pode ser usado para ajustar a resposta transitória obtida durante o arranque do processo. Os parâmetros utilizados são denominados *cut-back* ou *preload* -- ver próxima figura:



A figura anterior (originalmente figura 3.27 de [1]), mostra um ajuste da banda proporcional usando parâmetros de corte (*cut-back*). Os diagramas mostram a banda proporcional, o ponto de ajuste  $y_{sp}(t)$ , a saída do processo  $y(t)$ , o sinal de controle  $u(t)$  e a ação integral  $I(t)$ .

Neste sistema, a banda proporcional é posicionada com uma extremidade no ponto de ajuste (sinal de referência,  $r(t)$  ou  $y_{sp}(t)$ ) e a outra extremidade na direção do valor

medido ( $y(t)$ ) quando há grandes variações. Estes métodos podem ajudar a eliminar o problema do windup principalmente nos casos de sistemas que sofrem perturbações.

### A Banda Proporcional:

A noção de banda proporcional é útil para compreender o efeito de windup e explicar os esquemas de anti-windup. A **banda proporcional** corresponde ao intervalo do sinal de controle no qual o atuador não satura se o valor instantâneo da saída do processo ou seu valor previsto (referência) estiver dentro desta faixa. Para o controlador PID sem limitação na sua ação derivativa, o sinal de controle é resultado de:

$$u = K(b y_{sp} - y) + I - K T_d \frac{dy}{dt} \quad (3.24)$$

Podemos tentar prever a saída do processo,  $y_p$  como:

$$y_p = y + T_d \frac{dy}{dt}$$

Pode-se definir a banda proporcional  $[y_l, y_h]$  como:

$$y_l = b y_{sp} + \frac{I - u_{max}}{K} \quad (3.25(a))$$

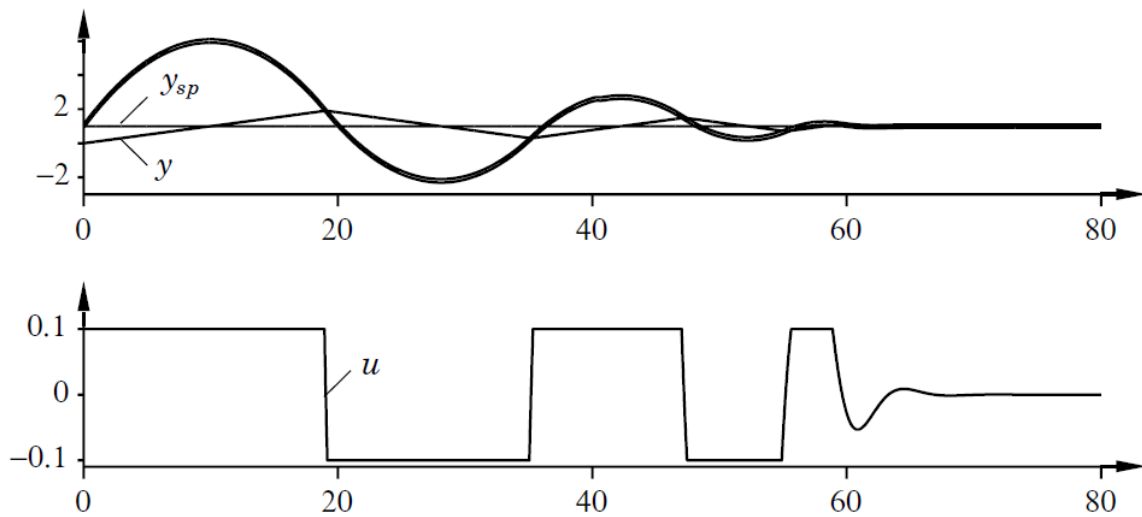
$$y_h = b y_{sp} + \frac{I - u_{min}}{K} \quad (3.25(b))$$

onde:  $u_{min}$  e  $u_{max}$  são os valores para o sinal de controle para os quais o atuador satura.

O controlador opera de modo linear (sem saturação), se o sinal previsto para saída do processo,  $y_p$ , estiver dentro da banda proporcional. O sinal de controle satura quando  $y_p$  estiver fora da banda proporcional.

Note que a banda proporcional pode ser deslocada mudando-se o termo integral nas equações (3.25).

Para ilustrar a utilidade do conceito da "banda proporcional", a próxima figura mostra a banda proporcional (fig 3.24 de [1]). Esta figura pode ser comparada com uma figura inicial já mostrada neste documento (fig 3.18 de [1]) para o caso do Exemplo 3.1.

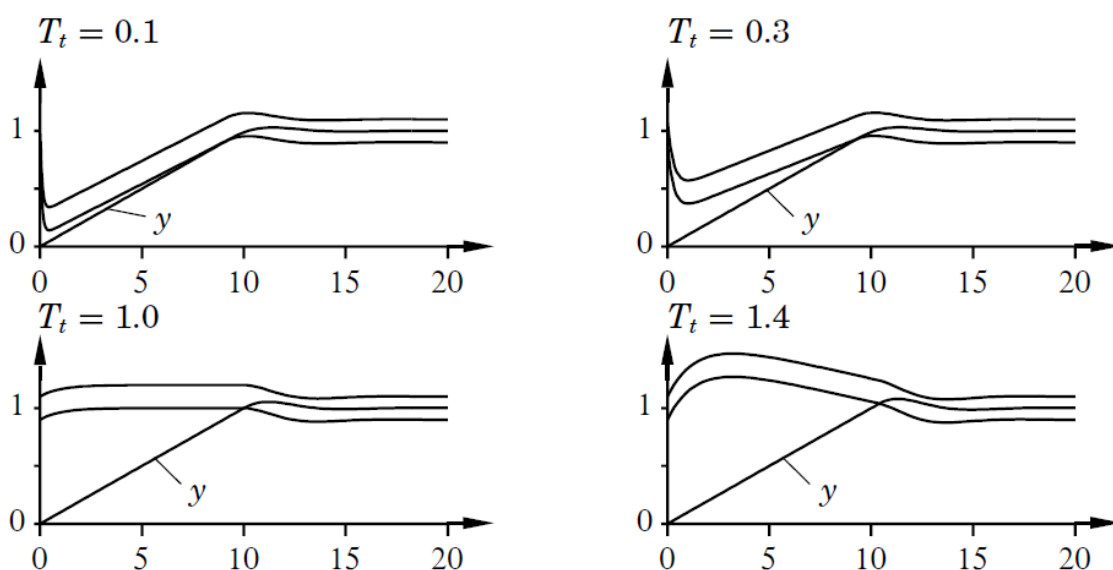


A figura anterior mostra a banda proporcional para o caso do Exemplo 3.1. O diagrama superior mostra a saída do processo  $y(t)$  e a banda proporcional. O diagrama inferior mostra o sinal de controle  $u(t)$ .

Note que a banda proporcional começa a se mover para cima porque o termo integral aumenta. Isso implica que a saída não atinge a banda proporcional até que esta seja muito maior do que o *\*setpoint\**.

Quando a banda proporcional é atingida, o sinal de controle diminui rapidamente. Entretanto, a banda proporcional muda tão rapidamente, que a saída se move muito rapidamente através da banda, e esse processo se repete vários vezes.

A próxima figura (fig 3.25 de [1]) mostra a banda proporcional para um sistema de controlador com anti-windup por *back-calculation* com diferentes valores para a constante de tempo de seguimento  $T_t$  (*tracking time constant*).



A figura anterior mostra que a constante de tempo de rastreamento tem um influência significativa na banda proporcional. Devido ao rastreamento, a banda proporcional é movida para mais perto da saída do processo.

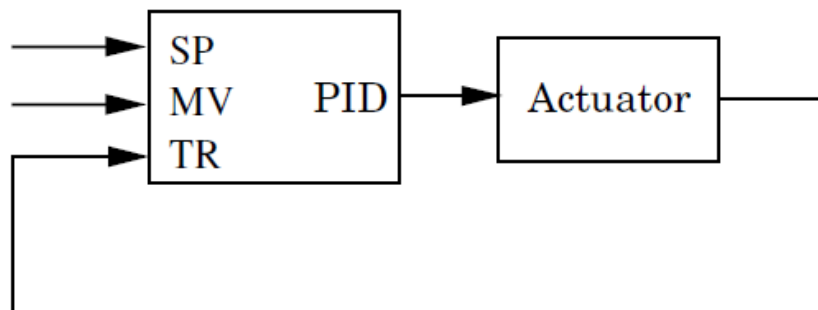
Que tão rápido esta aproximação é realizada depende da constante de tempo de rastreamento  $T_t$ . Entretanto, note que pode haver uma desvantagem em movê-lo muito rapidamente, uma vez que a saída prevista pode então se mover para a banda proporcional por causa do ruído e fazer com que o sinal de controle diminua desnecessariamente.

## Outros métodos

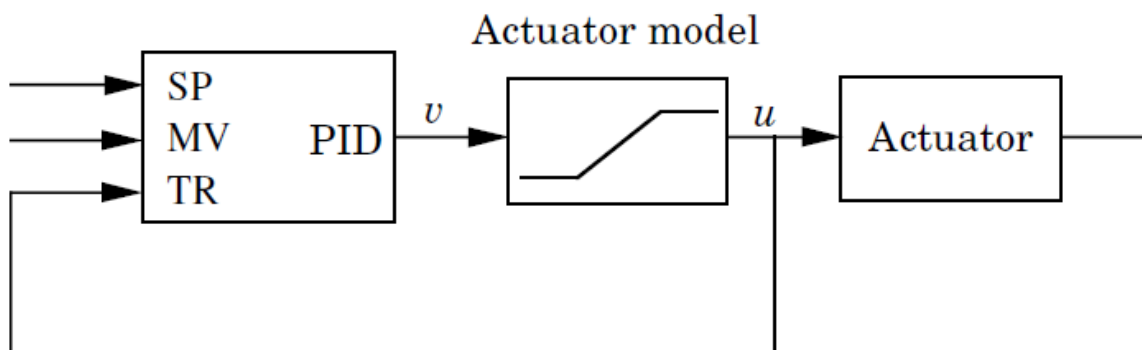
Outros métodos/abordagens podem ser adotados. De fato, o Simulink traz na sua biblioteca de PID's, um PID com a opção de "Rastreamento", incorporando uma modificação na técnica *back-calculation*, chamada de **tracking mode** por [1].

A próxima figura apenas ilustra um PID com anti-windup por *back-calculation* que trabalha no modo *tracking*:

**A**



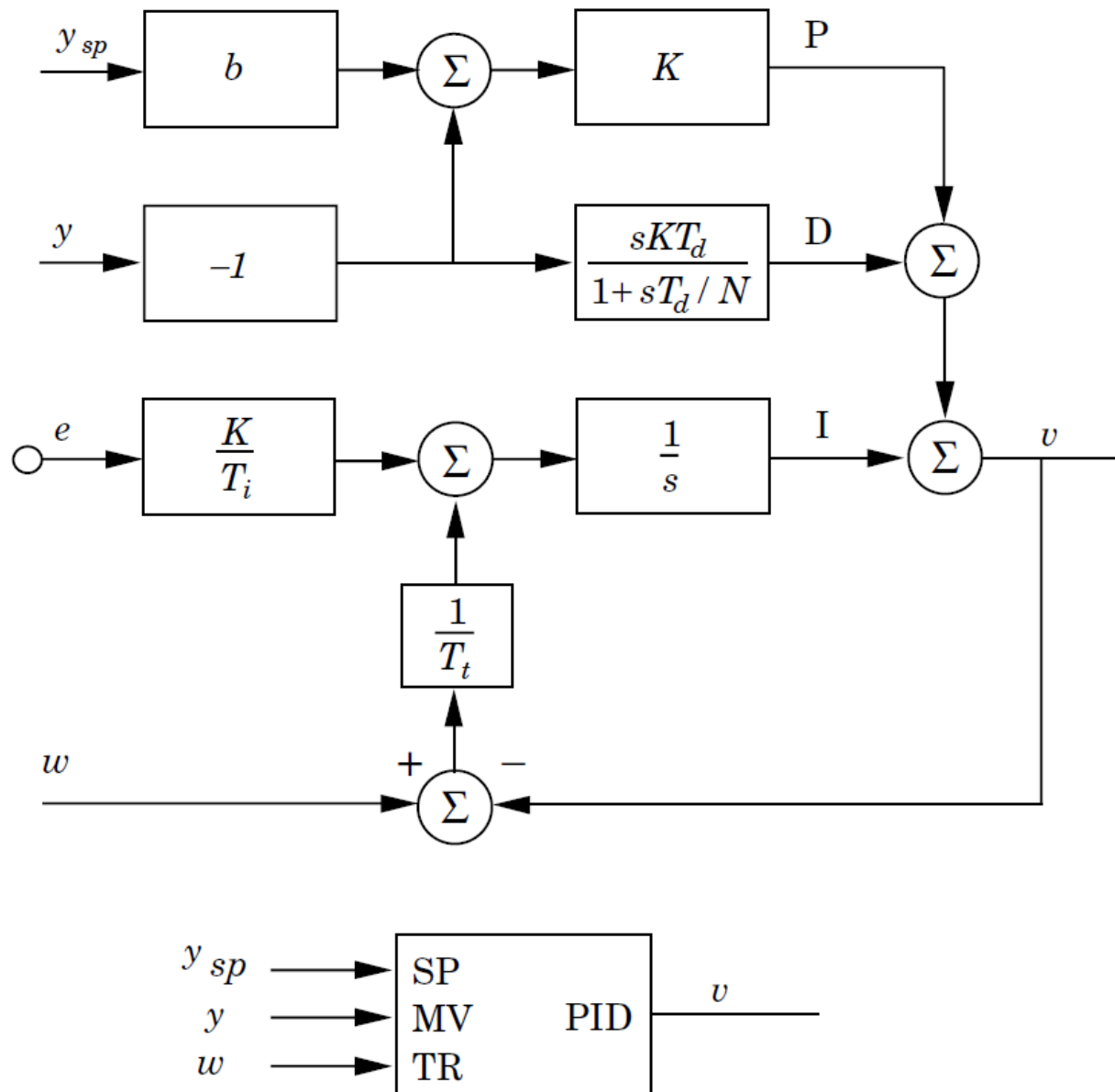
**B**



Na figura anterior, *SP* se refere à "Set Point" (sinal de referência), *MV* se refere à *Manipulated Value* (ou "Variável Manipulada") que corresponde a saída monitorada (sensoriada) do processo, ou sinal  $y(t)$ , e *TR* se refere ao sinal de *TR*acking. O novo sinal de entrada *TR* neste PID, chamado de *tracking signal* é o que a saída do controlador tentará seguir.

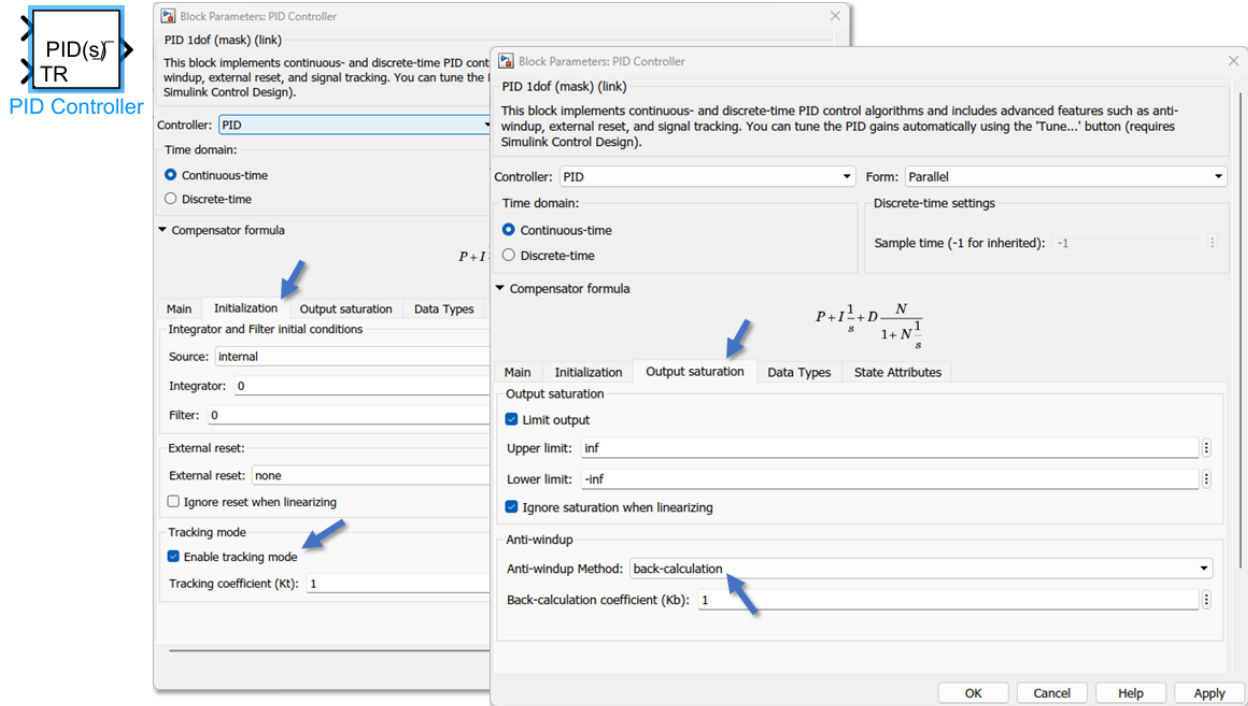
A próxima figura, traz um diagrama em blocos que permite entender um pouco melhor esta nova estrutura de PID:





A figura anterior também é adaptada de [1] (Fig 3.22). Ela mostra que nesta abordagem o controlador possui três entradas: o *setpoint* (neste caso,  $y_{sp}(t)$ ), a saída medida do processo ( $y(t)$ ), e um sinal de rastreamento ( $w(t)$ ). A nova entrada "TR" (ou  $w(t)$ ) é chamada de sinal de rastreamento porque a saída do controlador seguirá esse sinal. Observe que o rastreamento é inibido quando  $w = v$ .

Note este PID presente na biblioteca de blocos disponíveis no Matlab/Simulink:



Mas atenção, esta técnica (este PID), não está previsto para ser explorado neste trabalho.

## Referências

- [1] Åström, KJ & Hägglund, T 1995, *PID Controllers: Theory, Design, and Tuning*. 1a-ed., ISA - The Instrumentation, Systems and Automation Society, Research Triangle Park, North Carolina. -- Disponível em 29/11/2022.
- [2] *Improving the Beginner's PID – Derivative Kick*, Blog, URL: <http://brettbeauregard.com/blog/2011/04/improving-the-beginner's-pid-derivative-kick/> (acessado em 01/12/2022).
- [3] Anderson, Mondji; *How to Tune a PID Controller*, Realpars, Postado em 11/01/2021, URL: <https://realpars.com/pid-tuning/> (acessado em 01/11/2022).
- [4] Zhuge, Scott; *PID Control Theory*, Crystal Instruments, Postado em 24/08/2020, URL: <https://www.crystalinstruments.com/blog/2020/8/23/pid-control-theory> (acessado em 01/11/2022).

Fernando Passold, em 30/11/2022 ~ 02/12/2022.